

1.4 秋田港における浚渫船の稼働実績について

第一港湾建設局秋田港工事事務所。高田 満夫

" " 近川喜代志

大都工業株式会社

伊藤 善司

1. まえがき

秋田港は、現在掘込港湾「秋田北港」の建設並びに在来港の整備拡充が急ピッチに進められているが、これら航路、泊地の浚渫にはポンプ浚渫船を主力として施工を行なっている。

本報告は昭和44、45年に亘り本港地区の航路、泊地浚渫に従事しているポンプ式浚渫船オ3東京丸の稼働実績を取りまとめたものである。

2. 気象と地質

秋田港付近の地質は第四紀沖積層で、砂、シルト、粘土及びこれらとの混成層よりなっており、土の層成は旧種物川の乱流のためか不規則である。ポンプ船の施工区域付近のボーリング結果は、図-1に示すとおりで、10mまではほとんど中粒砂と粗粒砂で、N値は10~30程度であるが、砂が多いこととN値が9.0m以深では40~50になつてゐるのが注目される。日本、風及び波による浚渫船への影響は、作業区域が港内であるためほとんどない。

3. ポンプ船主要目

ポンプ船オ3東京丸の主要目は、下記のとおりである。

船体部 長さ39m60、幅12m00、

深さ3m00、総噸数620ton。

浚渫機部 浚渫ポンプ(吸入管×吐出管)

0.51×0.51、インペラ径1.615φ(

常時1.550φ)、カッター(全高×外径

)1.7m×1.5m、浚渫深度45度にて-

/4.0m、カッター回転数及び方向19r

P.M.時計方向、ラダー長さ(トラニオン-

カッター先端間)20m

電気部 主ポンプ電動機3300V、50

%、1.000P.S.、カッター電動機300

0V×300P.S.×24.2A×720R.P.M.

ラダー、スイング、スパット、ワインチ用

電動機75P.S.、スイング速度10ton×

1.5m/min

図-1 向次地内土質調査柱状図

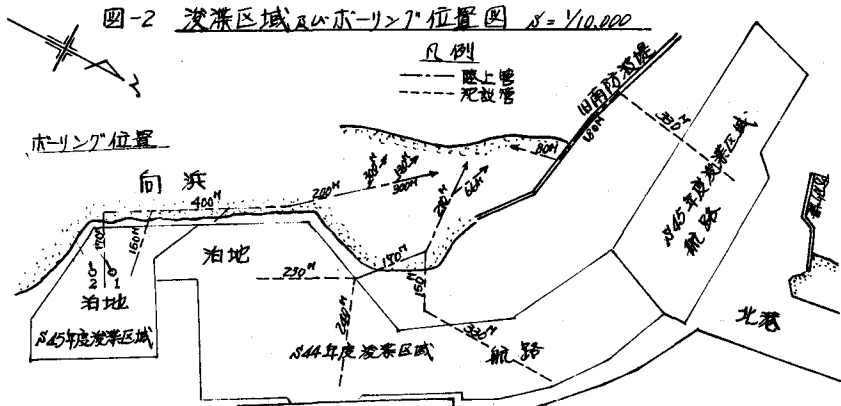
標高 M	層厚 M	孔内水位 M	柱状図	色調	地質名	観察	標準貫入試験	
							深度 M	N値
0			.					
1	1.75	1.30	.	暗褐色	中粒砂	礁塊り φ1~2mm		
2	2.20	0.95	.	暗褐色	粗粒砂	沙土混り	2.50	24
3	3.00	2.00	.	暗褐色	粗粒砂		2.80	3.50
4	2.20		.	暗褐色	粗粒砂	小礁塊り φ2~3mm	3.80	13
5	3.20		.	暗褐色	粗粒砂		4.50	12
6			.				4.80	11
7	4.20		.	暗褐色	粗粒砂	片岩に礁塊れ φ4~10mm	5.00	14
8			.				5.30	17
9	2.60		.				5.80	20
10	4.25	2.05	.	暗褐色	中粒砂	礁塊り φ20~40mm	6.30	50
11	1.50		.	暗褐色	中粒砂		6.50	50
12							6.70	50

4. ポンプ船の稼働実績

ポンプ船の昭和44年度及び45年度の施工区域、配管経路は図-2に示すとありであり、計画浚渫土量は各々705,000m³及び806,000m³（余塗土量を含む）である。

4-1. 昭和44年度稼働実績

昭和44年度の稼働実績をみると、運転日数は就役日数の5.9倍、時間当り揚土量はノット1.7m³しかならず、結果的には当初計画の約47%に当たる331,0



0の現いか消化できず、残りは他船の応援を受けざるを得なかつた。

能率低下は休止時間の増によるもので、その原因は

- (i) ポンプ船自体の予想外の欠陥による故障修理が多かつた。
- (ii) 施工区域内に沈船、沈木等予期せぬ障害物があり、それらによるカッターナイフ及びカッターシャフトの損傷が相つゝ復旧、修理に多大の日時を要した。特に施工開始直後は、前記の予備部品がなく手待ち時間を多くした。
- (iii) 上記(i)の障害物の他にも古タイヤー、桟木の樹皮、玉石（径15cm～30cm）等も多くカッターナイフに巻きついたり、はさまったりするほか吸入口をも塞ぐため、これの除去に要する時間も多かつた。
- (iv) 冬期に港口側を掘ったため、荒天待機が多くなつた。
- (v) 土厚がうすく転船時間が増えた。

以上が主なものであつた。

4-2. 昭和45年度浚渫工事について

昭和45年度の浚渫にあたつては、昭和44年度の経験から非能率の原因は、次の3点が主体的なものであると考えこれを除くこととした。

- (i) 本船の構造上の欠陥については、カッターシャフト等の改造を行なつた。
- (ii) 障害物の発生については、事前調査を詳細に実施したが障害物はみなかつた。
- (iii) 転轍方法の改善

以上の項目3点のうち、(iii)については次の2点に留意した。

- 1) 浚渫順序の検討として海象、気象により浚渫能率が影響を受けないよう奥の部分を冬期に行なう。
- 2) 事前に本船の実用性能図を作成し、これにより最高の状態で運転すること。

特に実用性能図の作成が重要な事項であるので、これについて述べる。

4-3. 実用性能図の作成

実用性能図は、管内流速、貯圧計及び圧力計の値を知れば、以下に示す式より簡単に作成することができる。

流量Qと含泥率Xの増加による吸込貯圧の変化Vm

$$V_m = h_s + (V_{wo} - h_s) \frac{\theta^2 Q_0}{Q_0} + X (\beta - 1) \{ h_s + h_u + \beta (V_{wo} - h_s) \frac{\theta^2 Q_0}{Q_0} \}$$

含泥率の変化による浚渫土量G

$$G = 3600 \cdot Q \cdot X \frac{l}{l_0}$$

含泥率による馬力Nの変化

$$N_m = r \cdot N_w$$

含泥率による管内流速Vmの低下量ΔV

$$\Delta V = \frac{X (\beta - 1)}{1 + \beta X (\beta - 1)} \left\{ (\beta - 1) \frac{V_m}{2} + 0.8 \right\}$$

hs: 吸込貯揚程

β: 土砂の真比重

hu: 浚渫深度

γ: 土砂の見掛け比重

h0: ポンプの揚程

γr: 泥水の比重

ht: 全揚程

Vwo: 送水時吸込貯圧

hr: 任意点の揚程

β: 土質係数

Nw: 送水時の馬力

l: 管長

Nm: 送泥時の馬力

無揚程管長lno(船内管、水上管及び陸上管の長さを、揚程=0の時の管長に換算したもの。)

$$l_{no} = l \frac{h_n}{h_0 - h_t} \left(\frac{Q_0}{Q_m} \right)^2$$

以上の結果を、横軸に排送距離(換算無揚程管長)と、縦軸に浚渫土量を取り、各々記入すると実用性能図を求める事ができる。

図-3に示す実用性能図は、送水試験結果(表-1)と現場特性($h_s = 2.6$, $h_u = 0$, $h_t = 1.0 m$, $\gamma = 1.56$)を上記の式に代入して求めたものである。性能図をみると場合、作業仰所の土質が砾混り粗砂のため、流速を4.5 m/sec 以上に保たなければならぬことと、排送距離が約1,100 m(水上管3

00 m、陸上管1,100 m)を要することから、吸込貯圧を16 m以下にしなければならぬと考えらるるため、本船の能率の良い使用範囲は、図-3のとおり吸込貯圧16 mと流速4.5 m/sec にかまされた間となり、このとき最高の揚土量は290 m^3 で排送距離が1,700 mであることがわかる。

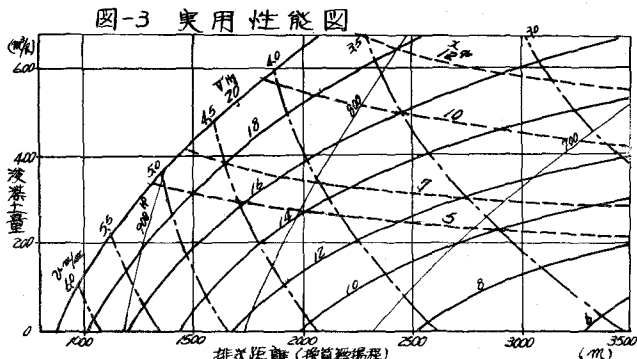
この距離は、揚程を無視したものであるから実揚程

表-1 第3東京丸試験記録

航送時間 度 h sec	流速 m/sec	正計算 PFS/m ³	面積 m ²	面積 m ²	全揚程 m	換算 m	備考
0.5 3'51"6	5.403	46	380	513	55.73	12.70	機砂層
0.5 2'52"7	5.948	44	44	360	4.86	53.46	9.20
0.5 3'9"8	4.614	46	46	260	3.51	54.11	9.20
0.2 3'50"5	3.865	485	485	195	2.63	55.73	9.20

4-4. 船舶45年度稼働実績

現地の配管については、予定ルートに起伏が多く最も高い所は+5.0 mあり、管内流速の低下を防ぐために排水管主索付近で一拳に+5.0 m並上



ゲ、吐出しきまで0.2%の勾配で配管した。これによる効果は定量的に不明であるが、ポンプ圧が強くしかも管長による摩耗損失の少ない間に、所要高まで上げた方が有利と考えたためである。

12月末までの稼動実績は表-2に示すとおりで、このうち6月～7月は航路で8月以降が沿地である。沿地についてみれば時間当たり揚土量は226t/hであり、性能図から求めた290t/hより、64%の低下をきたしている。この原因としては、作業区域全体にわたりφ20～40mmの砾が多

表-2 昭和45年度稼動実績

月 別 支 出 数 量 目 数	運転時間				運転休止時間				揚土量 m ³	電力量 kWh	運転時間 当揚土量 t/h	時間当たり 電力量 kWh/t
	運転時間	スパート時間	排氣時間	合計	機械	電気	陸上	稼動率				
6/21-26	297.82	83.50	23.30	403.62	57:35	62.07	0	22.55	0	124.75	246.55	102.853
7/31-25	323.20	87.32	35.15	446.05	42:10	26.55	41.75	21.45	0	196.30	277.55	145.202
8/31-18	227.15	33.15	24.45	335.15	31:50	7.05	15.05	5.10	0	205.35	408.45	77.380
9/30-24	417.50	42.45	25.55	485.00	12:25	18.50	17.30	6.30	0	170.45	232.00	113.857
10/31-24	330.50	44.95	47.55	422.50	22:20	15.10	3.30	15.15	0	266.55	321.10	100.585
11/30-27	353.50	18.32	113.30	515.15	29:30	7.50	3.50	29.05	43:10	76.35	246.05	102.501
12/31-21	346.30	50.30	25.40	422.40	26:25	12.45	8.20	5.25	8:10	249.15	311.20	99.859
計	211.65	2239.20	370.80	3045.30	234:15	150.35	52.30	100.05	52:25	1022.20	2082.10	731.745
												3425.805
												2402
												4.7

く、土砂のつまらの左側には、管内流速を4.8m/s程度まで上げなければならなかったことである。性能図で流速4.8m/sときの浚渫土量を求めてみると、約230t/hとなり稼動実績の値とほぼ等しくなる。

5. あとがき

以上のことから、現在の土質における浚渫能率はほぼ最高にはっていないことがわかった。これは性能図による工程管理の成果であって、今後とも大いに活用していくたいと考えている。なお、配管と揚土量の関係、土質と主要部品の摩耗の関係についての調査が不充分なので、今後の研究課題としている。

参考文献

- 長谷川源太郎、入木得次、徳永省三： 浚渫ポンプの性格とその使用法、運輸技術報告（別冊）
- 落合林吉： 埋立工学
- 土木学会： 土木工学ハンドブック
- 比田正、新妻幸雄： 港湾施工法（下）